

توسعه عملکرد فتوولتائیک سلول خورشیدی رنگدانه‌ای با به کارگیری فتوآند نانوکامپوزیتی دی‌اکسید تیتانیم: نانولوله کربنی*

شروعین دانشور اصل^(۱) سید خطیب‌الاسلام صدرثزاد^(۲)

چکیده

پوشش‌های نانوکامپوزیتی دی‌اکسید تیتانیم- نانولوله کربنی چندیواره (TiO_2 -MWCNT) حاوی در صدهای گوناگون از نانولوله کربنی روی زیرلايه اکسید قلع دوب شده با فلورئور به روشن سلزل غوطه‌وری ایجاد شدند. سپس، سلول‌های خورشیدی رنگدانه‌ای با استفاده از آندهای تهیه شده از این پوشش‌ها، الکتروولیت اکسایشی-کاهشی پایه یاک و الکتروود کمکی پلاتینه شده ساخته شدند. نتایج نشان دادند که سلول خورشیدی ساخته شده از فیلم نانوکامپوزیتی TiO_2 -3%wt.MWCNT دارای بیشترین بازدهی تبدیل (5.31%) و میزان افزایش بازدهی نسبت به حالتی که از لایه TiO_2 خالص در ساخت آنده استفاده شود، 69% ~ است. این ارتقا در بازدهی تبدیل به افزایش رسانایی الکتریکی آنده، کاهش ترکیب مجده حامل‌های بار در آن و کاهش مقاومت انتقال بار در فصل مشترک دی‌اکسید تیتانیم/ رنگدانه/ الکتروولیت نسبت داده شد.

واژه‌های کلیدی سلول خورشیدی رنگدانه‌ای، دی‌اکسید تیتانیم، نانولوله کربنی، سلزل غوطه‌وری و بازدهی تبدیل

Improvement of the Photovoltaic Performance of Dye-Sensitized Solar Cell by Using TiO_2 :CNT Nanocomposite Photoanode

S. Daneshvar e Asl

S. K. Sadrnezhaad

Abstract

TiO_2 -MWCNT nanocomposite films containing various percentages of multi-wall carbon nanotubes were coated on fluorinated tin oxide (FTO) conductive glass substrates by sol-gel dip coating technique. Dye-sensitized solar cells were assembled by using anodes made of these nanocomposite films, iodide/triiodide redox couple electrolyte and platinum coated FTO cathodes. Cells having TiO_2 -3wt.%MWCNT nanocomposite anode showed maximum solar-to-electric energy conversion efficiency of 5.31%, which was 69% higher than conventional TiO_2 solar cells. The enhancement of conversion efficiency was attributed to the increased electrical conductivity of the anode, decreased charge carrier recombination in the anode and decreased charge transport resistance at the TiO_2 /dye/electrolyte interface.

Keywords Dye-Sensitized Solar Cell, Titanium Dioxide, Carbon Nanotube, Sol-Gel Dip Coating and Conversion Efficiency

* نسخه نخست مقاله در تاریخ ۹۵/۱/۲۷ و نسخه پایانی آن در تاریخ ۹۶/۳/۶ به دفتر نشریه رسیده است.

(۱) دانشجوی دکترا، دانشکده مهندسی و علم مواد، دانشگاه صنعتی شریف، تهران.

(۲) نویسنده مسئول، استاد، دانشکده مهندسی و علم مواد، دانشگاه صنعتی شریف، تهران.

Email: sadrnezh@sharif.edu

DOI: 10.22067/ma.v30i1.55134

مقدمه

مشترکی ترکیب مجدد الکترون‌های تزریق شده به نوار هدایت دی‌اکسید تیتانیم با یون‌های I^-_3 موجود در الکتروولیت را آسان می‌کنند [1,3,5,8].

در سال‌های اخیر، نانولوله‌های کربنی به دلیل رسانایی الکتریکی بالا، پایداری شیمیایی، مساحت سطح زیاد و ساختار لوله‌ای‌شکل بسیار مورد مطالعه قرار گرفته‌اند [16,9-17]. با این وجود، گزارش‌های کمی مبنی بر استفاده از نانولوله‌های کربنی در لایه دی‌اکسید تیتانیم در سلول‌های خورشیدی رنگدانه‌ای، علی‌رغم پتانسیل ذاتی برای افزایش بازدهی تبدیل انرژی خورشیدی ناشی از رسانایی الکتریکی مطلوب آنها، وجود دارد. از تمایل بالا به الکترون در نانولوله‌های کربنی می‌توان برای جمع‌آوری الکترون‌ها و افزایش تحرك آنها در سلول‌های خورشیدی رنگدانه‌ای استفاده کرد [17,18].

در این مقاله به منظور بررسی امکان توسعه عملکرد سلول‌های خورشیدی رنگدانه‌ای، نانوکامپوزیت‌های دی‌اکسید تیتانیم: نانولوله‌های کربنی چنددیواره حاوی درصدهای گوناگون از نانولوله کربنی به روش سل‌ژل غوطه‌وری ستز و به عنوان الکترود کاری در سلول خورشیدی استفاده شده‌اند. نوآوری پژوهش، به کارگیری روش سل‌ژل غوطه‌وری برای ستز لایه‌های نانوکامپوزیتی قابل استفاده در سلول خورشیدی رنگدانه‌ای است که در مقایسه با شیوه‌های متداول از جمله روش دکتر بلید آسان‌تر، کم هزینه‌تر و از نظر زمانی کوتاه‌تر است. بازدهی سلول خورشیدی در این تحقیق از راندمان به دست آمده در اغلب کارهای قبلی بیش‌تر است.

روش تحقیق

به منظور ایجاد گروه‌های عاملی روی سطح نانولوله‌های کربنی چنددیواره عملیات اکسیداسیون شیمیایی روی آنها انجام شد. در یک عملیات نوعی، ۵۰۰ میلیگرم از نانولوله کربنی چنددیواره (خلوص ۹۵٪، US Research) در ۶۸ میلی‌لیتر از محلول غلیظ اسید نیتریک: اسید سولفوریک (با نسبت حجمی ۱:۳) به مدت

سلول‌های خورشیدی رنگدانه‌ای (Dye-sensitized Solar Cells, DSCs) به دلیل هزینه تولید کم، بازدهی مطلوب و فرایند ساخت ساده در مقایسه با سلول‌های خورشیدی سیلیکونی متداول، توجه بسیاری را به خود جلب کرده‌اند [1-4]. در این سلول‌ها، ابتدا نور خورشید توسط مولکول‌های رنگدانه جذب و الکترون‌ها از بالاترین اوربیتال‌های مولکولی پر رنگدانه به پایین‌ترین اوربیتال‌های مولکولی خالی آن تهییج می‌شوند. سپس، الکترون‌های تهییج شده به سرعت به نوار هدایت نانوذرات اکسیدی تزریق می‌شوند. این الکترون‌ها از طریق شبکه نانوذرات به زیرلایه رسانای شفاف رسیده و توسط آن جمع‌آوری می‌شوند. مولکول‌های رنگدانه اکسیدشده توسط احیای گونه‌های موجود در الکتروولیت از جمله I^-_3 مجدد تولید می‌شوند و یون‌های I^-_3 حاصله از الکترود کمکی الکترون می‌گیرند تا مدار جریان در سلول‌های خورشیدی رنگدانه‌ای کامل شود [5,6]. معمولاً نانوذرات دی‌اکسید تیتانیم به علت بازدهی بالاتر حاصل نسبت به سایر نیمه‌رساناهای اکسیدی به عنوان الکترود کاری در سلول‌های خورشیدی رنگدانه‌ای استفاده می‌شوند [1]. از جمله برتری‌های دی‌اکسید تیتانیم می‌توان به مقاومت به خوردگی نوری، پایداری شیمیایی / حرارتی، خشی‌بودن از نظر شیمیایی، مقاومت به خوردگی، فعالیت فتوکاتالیستی زیاد، غیرسمی‌بودن و فراوانی (قیمت کم) اشاره کرد [7]. برای افزایش بازدهی سلول‌های خورشیدی پایه دی‌اکسید تیتانیم باید از ترکیب مجدد حامل‌های بار تولیدشده در اثر تابش نور جلوگیری کرد. رویکردهای موجود شامل انتقال الکترون در لایه الکترود و مسدودکردن ترازهای فصل مشترکی زیر لبه نوار هدایت این نیمه‌رسانا هستند. انتقال الکترون در الکترود پایه دی‌اکسید تیتانیم از مهم‌ترین عوامل تاثیرگذار روی بازدهی تبدیل سلول‌های خورشیدی رنگدانه‌ای است. تحرك بیش‌تر الکترون، بازدهی بالاتر سلول‌های خورشیدی رنگدانه‌ای را نتیجه می‌دهد. ترازهای فصل

جهت تشخیص بلورینگی، تعیین نوع و نسبت فازهای تشکیل شده و محاسبه اندازه بلورک‌ها در پوشش‌های نانوکامپوزیتی از دستگاه پراش‌سنجدی پرتوی ایکس (XRD، Stadi P) مدل STOE، XRD (Ray Diffraction)، لامپ مسی با طول موج ۱۵۴۱۸ آنگستروم، جهت مطالعه مورفولوژی و ابعاد نانوساختارهای تشکیل شده و همچنین بررسی سطح پوشش‌های ایجادی از میکروسکوپ الکترونی روبشی گسیل میدانی (Field Emission Scanning Electron Microscope، FE-SEM) مدل MIRA/TESCAN، به منظور بررسی مقاومت‌های داخلی و انتقالات الکترونی در سلول‌های خورشیدی رنگدانه‌ای ساخته شده از طیف‌سنیج امپدانس الکتروشیمیایی مدل AUTOLAB AUT 83587 و به منظور ارزیابی عملکرد فتوولتائیک، اندازه‌گیری پارامترهای فتوالکتروشیمیایی و بازده سلول‌های خورشیدی رنگدانه‌ای در تبدیل انرژی نور خورشید به جریان الکتریکی از دستگاه شبیه‌ساز نور خورشیدی ساخت شرکت Palm.sens استفاده شد.

نتایج و بحث

شکل‌های (۱) و (۲) به ترتیب الگوهای پراش‌سنجدی پرتوی ایکس پوشش دی‌اکسید تیتانیم خالص تکلیس نشده و پوشش‌های نانوکامپوزیتی دی‌اکسید تیتانیم-نانولوله کربنی چنددیواره حاوی درصدهای گوناگون از نانولوله کربنی چنددیواره بعد از تکلیس را نشان می‌دهند. از شکل (۱) مشخص است که ساختار پوشش قبل از آنیل به صورت آمورف است. در ماده آمورف تعداد زیادی مکان‌های تله وجود دارند که باعث بازترکیب شارژ تولیدی از فوتون‌های نور می‌شوند و بنابراین بلورینه کردن ماده اهمیت دارد [۱۹]. شکل (۲) نشان می‌دهد که پوشش‌ها در حین آنیل تبلور یافته و استحاله فازی آمورف به آناتاز در آن‌ها اتفاق افتاده است. به طوری که بعد از زیتر، ساختار بلوری دی‌اکسید تیتانیم در همه پوشش‌ها تماماً آناتاز شده و هیچ پیکی مبنی بر

۱۰ ساعت در حمام اولتراسونیک با دمای ۶۰ درجه سانتیگراد قرار گرفتند. سپس، نانولوله کربنی چنددیواره با غشاء پلیمری پلی‌تترافلوئورواتیلن فیلتر و با آب دی-یونیزه چندین بار شسته شدند تا مقدار pH محلول حاصل از شستشو به ۶ برسد. در نهایت، نانولوله کربنی چنددیواره در خشک‌کن با دمای ۴۰ درجه سانتیگراد به مدت ۴۸ ساعت خشک شدند.

سل دی‌اکسید تیتانیم توسط هیدرولیز جزئی و چگالش تیتانیم بوتوکسید (خلوص ۹۸٪ Merck) توسط آب تهیه شد. بدین منظور، مخلوط آب دی‌یونیزه ۱/۰ (میلی‌لیتر) و اتانول (۵۵٪ میلی‌لیتر، به عنوان حلال) قطره- قطره به یک فلاسک حاوی تیتانیم بوتوکسید (۵/۶ میلی‌لیتر، به عنوان پیش‌ماده تیتانیم)، اسید هیدروکلریک (۴/۰ میلی‌لیتر، به عنوان کاتالیست) و نانولوله‌های کربنی پیش- عملیات شده ضمن همزن اضافه شد. محلول حاصل در دمای اتاق، تحت اتمسفر نیتروژن توسط همزن معناطیسی به مدت ۱ ساعت همزده شد. غلظت پیشنهادی برای نانولوله‌های کربنی ۰ تا ۴ درصد وزنی سل بود. سپس، با افزایش دمای سل به ۷۰ درجه سانتیگراد اجازه داده شد تا با تغییر حلال، سل ویسکوز حاصل شود. در مرحله بعد، زیرلايه‌های FTO در سل تیتانیا به مدت ۱۰ دقیقه غوطه‌ور شده و در جهت عمود بر سطح سل با سرعت ۱۰ میلی‌متر بر ثانیه خارج شدند. این زیرلايه‌ها در دمای ۴۵۰ درجه سانتیگراد به مدت ۱:۴۰ در معرض اتمسفر خشی آنیل شدند.

به منظور جذب مولکول رنگدانه، زیرلايه‌های پوشش داده شده به مدت ۲۴ ساعت در محلول ۴/۰ میلی‌مول از رنگدانه N719 قرار گرفتند. در نهایت، سلول‌های خورشیدی رنگدانه‌ای با استفاده از این آندها، الکتروولیت اکسایشی- کاهشی پایه ید و الکترود کمکی پلاتینه شده به حالت ساندویچی بسته شدند. شایان ذکر است که برای هر درصد از نانولوله کربنی چنددیواره، سه سلول ساخته شد و مورد مشخصه‌یابی قرار گرفت. نتایج گزارش شده میانگین مقادیر به دست آمده هستند.

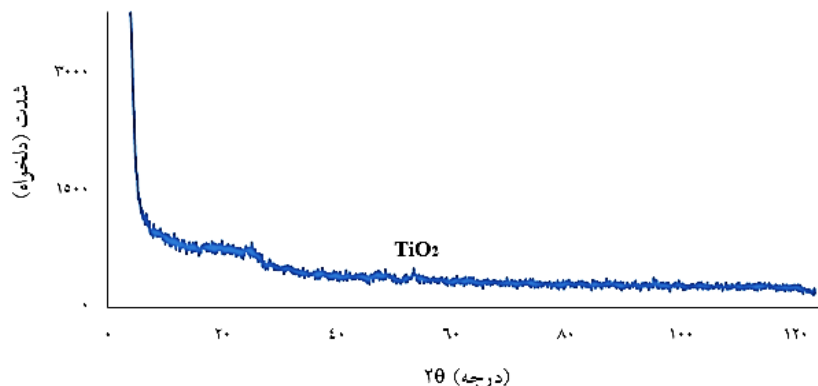
بلورک‌های فاز آناتاز کم می‌شود. به طوری که این مقدار از ۱۱ نانومتر برای پوشش دی‌اکسید تیتانیم خالص به ۵/۵ نانومتر برای پوشش نانوکامپوزیتی TiO_2 -MWCNT ۴%wt. می‌رسد. دلیل این امر آن است که حضور نanolوله کربنی چنددیواره در پوشش‌های نانوکامپوزیتی مانع رشد بلورک‌های دی‌اکسید تیتانیم می‌شود [2]. مرزدانه‌های اصلی و فرعی به عنوان موقعیت‌های تله در مسیر حرکت الکترون‌ها عمل می‌کنند. بنابراین، کم شدن اندازه بلورک‌های دی‌اکسید تیتانیم منجر به افزایش پدیده ترکیب مجدد می‌شود و از این لحاظ مطلوب نیست. یکی از دلایل بهینه‌سازی میزان افزودن نanolوله‌های کربنی در این پژوهش، در نظرگیری این مطلب است. ذکر این نکته حائز اهمیت است که با توجه به این که پیک (۱۰۱) فاز آناتاز با پیک (۰۰۲) نanolوله‌های کربنی همپوشانی دارد، برای محاسبه اندازه بلورک‌های دی‌اکسید تیتانیم از سه پیک شدید بعدی این ماده استفاده شده است.

$$\beta \cos \theta = \frac{0.9\lambda}{D} + 4\epsilon \sin \theta \quad (1)$$

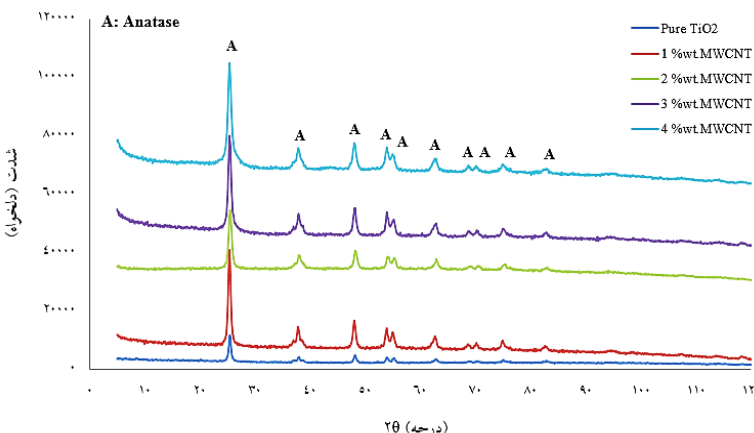
در این رابطه، β = عرض کامل در نصف بیشینه بر حسب رادیان، λ = طول موج پرتوی ایکس بر حسب نانومتر، ϵ = بیشینه کرنش موجود در ساختار ماده (بدون واحد)، D = متوسط اندازه بلورک‌ها بر حسب نانومتر و θ = زاویه تفرق بر حسب درجه می‌باشد [22].

وجود فازهای روتیل، بروکایت و یا ترکیبات دیگر نظیر ناخالصی‌ها وجود ندارد. البته با توجه به این که حد تشخیص آزمون پراش‌سنجد پرتوی ایکس بالای ۵ درصد وزنی است، احتمال وجود این فازها و ترکیبات به میزان کمتر از این حد وجود دارد. فاز آناتاز دارای ساختار کریستالی تتراگونال بوده و ثوابت شبکه آن عبارتند از: $a=b=0.3733$ نانومتر و $c=0.937$ نانومتر [20]. اندیس میلر صفحه‌های بلوری متناظر با پیک‌های آشکارشده فاز آناتاز به ترتیب از چپ به راست عبارت از (۱۰۱)، (۰۰۴)، (۲۰۰)، (۱۰۵)، (۲۱۱)، (۲۰۴)، (۱۱۶)، (۲۲۰)، (۲۱۵) و (۲۲۴) می‌باشند [21].

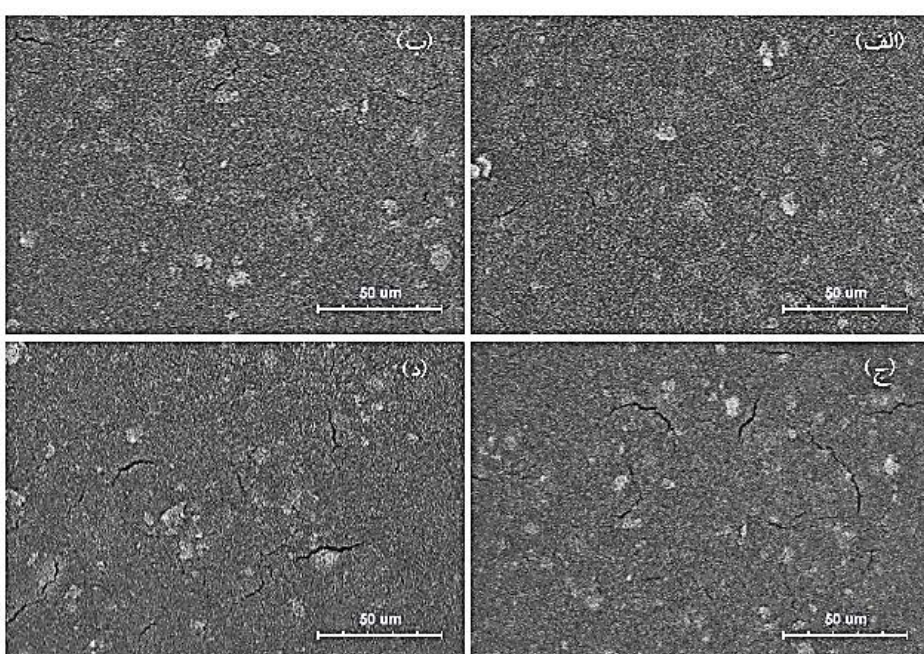
همان‌طور که در نمودارها مشخص است، پیک مشخصه نanolوله کربنی در $2\theta=26^\circ$ درجه به دلیل همپوشانی این پیک با پیک (۱۰۱) فاز آناتاز و بلورینگی غالب دی‌اکسید تیتانیم، در طیف‌های مربوط به پوشش‌های نانوکامپوزیتی مشاهده نمی‌شود. نتایج مشابهی توسط لی و همکاران [1]، یو و همکاران [2]، چاونقونگ و همکاران [3] و همکاران [4] گزارش شده است. دلیل دیگر این امر می‌تواند اختلاف جرم زیاد نanolوله کربنی چنددیواره و دی‌اکسید تیتانیم در پوشش‌های نانوکامپوزیتی باشد. با محاسبه اندازه بلورک‌های دی‌اکسید تیتانیم توسط رابطه ویلیامسون-هال (رابطه ۱) مشخص شد که با افزایش مقدار نanolوله کربنی چنددیواره در سل، اندازه



شکل ۱ الگوی پراش‌سنجدی پرتوی ایکس پوشش دی‌اکسید تیتانیم خالص تکلیس نشده



شکل ۲ الگوهای پراش‌سنگی پرتوی ایکس پوشش‌های نانوکامپوزیتی دی‌اکسید تیتانیم- نانولوله کربنی چنددیواره حاوی درصدهای گوناگون از نانولوله کربنی چنددیواره بعد از تکلیس



شکل ۳ تصویر میکروسکوپ الکترونی روبشی گسیل میدانی از سطح پوشش‌های نانوکامپوزیتی دی‌اکسید تیتانیم- نانولوله کربنی چنددیواره حاوی: (الف)، (ب)، (ج) و (د) ۳ درصد وزنی نانولوله کربنی چنددیواره

کربنی است [1,2,4,17]. حضور این ترک‌ها می‌تواند تعداد مکان‌های جذب رنگ‌دانه در لایه دی‌اکسید تیتانیم را کم کرده و باعث افت بازدهی سلول خورشیدی رنگ‌دانه‌ای شود. در واقع، در این حالت مولکول‌های رنگ‌دانه قرارگرفته در ترک پیوندی با ذرات دی‌اکسید تیتانیم نداشته و در مرحله شستشو با اتانول هدر می‌روند و یا این که بعد از مونتاژ پیل وارد الکتروولیت می‌شوند.

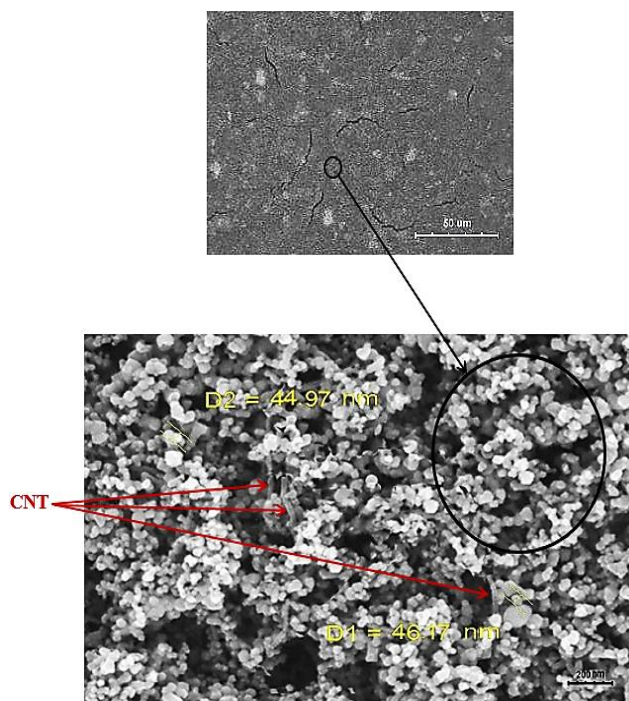
در شکل (۳) تصویر میکروسکوپ الکترونی روبشی گسیل میدانی از سطح پوشش‌های نانوکامپوزیتی دی‌اکسید تیتانیم- نانولوله کربنی چنددیواره حاوی درصدهای گوناگون از نانولوله کربنی چنددیواره نشان داده شده است. همان‌طور که مشاهده می‌شود با افزایش مقدار نانولوله کربنی در ساخت سل، میزان حضور ترک روی سطح پوشش‌های نانوکامپوزیتی زیاد شده است. علت افزایش این ترک‌ها، آگلومره‌شدن نانولوله‌های

رنگدانه/ دیاکسید تیتانیم در سلول‌های حاوی نانولوله کربنی کم شده است. علت این امر آن است که ساختار تکبعده نانولوله کربنی به انتقال الکترون‌های تولیدشده در اثر تابش نور کمک می‌کند و باعث کاهش ترکیب مجدد حامل‌های بار می‌شود [2]. افزایش رسانایی پوشش نیز دلیل دیگری برای این مشاهده است [11,17].

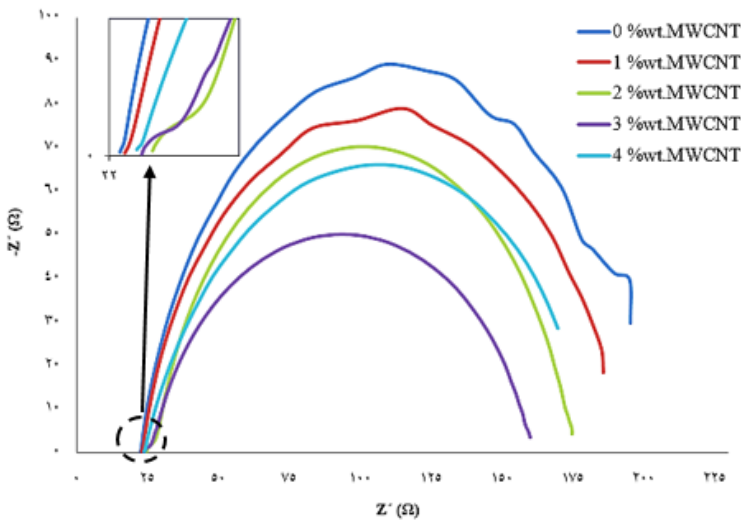
سلول خورشیدی ساخته شده از پوشش $\text{TiO}_2\text{-MWCNT}$ ۳%wt. دارای کمترین مقاومت انتقال بار و در نتیجه بیشترین سرعت انتقال الکtron می‌باشد. دیده می‌شود که افزایش بیشتر نانولوله کربنی باعث افزایش مقاومت فصل مشترک شده است. حضور بیش از حد نانولوله کربنی رقابتی در به دام اندازی نور بین این ماده و مولکول رنگدانه ایجاد می‌کند [2,23]. همچنین، در این حالت مقدار رنگدانه جذب شده در اثر افزایش ترک در پوشش (شکل ۳) کم می‌شود. در نتیجه این دو اتفاق، تریق الکترون به فتوالکترود نانوکامپوزیتی دیاکسید تیتانیم- نانولوله کربنی چنددیواره کم و مقاومت زیاد می‌شود.

شکل (۴) تصویر میکروسکوپ الکترونی روبشی گسیل میدانی از مورفولوژی پوشش نانوکامپوزیتی $\text{TiO}_2\text{-}4\%\text{wt.MWCNT}$ تصویر، خوش‌های متشكل از نانوذرات دیاکسید تیتانیم که شکلی تقریباً کروی و اندازه‌ای در حدود ۴۵ نانومتر دارند و نانولوله‌های کربنی مشاهده می‌شوند. از این تصویر مشخص می‌شود که نانولوله‌های کربنی به طور یکنواخت در بین نانوذرات دیاکسید تیتانیم پراکنده شده‌اند و تماس مطلوبی بین آنها وجود دارد. ساختار متخلخل پوشش در نتیجه خروج حلال در مرحله آنیل شکل گرفته است. ضخامت میانگین پوشش‌ها ۷ میکرومتر می‌باشد.

شکل (۵) منحنی‌های نایکوئیست سلول‌های خورشیدی رنگدانه‌ای ساخته شده از پوشش‌های نانوکامپوزیتی دیاکسید تیتانیم- نانولوله کربنی چنددیواره حاوی درصدی‌های گوناگون از نانولوله کربنی چنددیواره را نشان می‌دهد. همان‌طور که مشاهده می‌شود در مقایسه با سلول ساخته شده از پوشش دیاکسید تیتانیم خالص، مقاومت انتقال بار در فصل مشترک الکترولیت/



شکل ۴ تصویر میکروسکوپ الکترونی روبشی گسیل میدانی از مورفولوژی پوشش نانوکامپوزیتی $\text{TiO}_2\text{-}4\%\text{wt.MWCNT}$

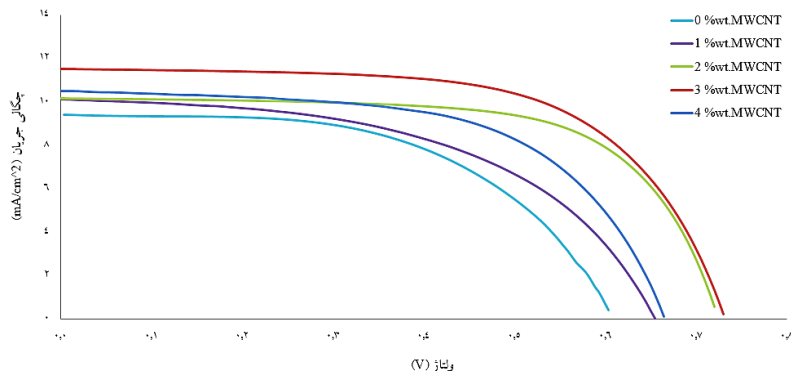


شکل ۵ منحنی های نایکوئیست سلول های خورشیدی رنگدانه ای ساخته شده از پوشش های نانو کامپوزیتی دی اکسید تیتانیم - نanolوله کربنی چنددیواره چنددیواره حاوی درصد های گوناگون از نanolوله کربنی چنددیواره

FTO و الکتروولیت از طریق نanolوله کربنی چنددیواره نیز می‌تواند دلیلی برای کاهش V_{OC} در مقادیر بیش از حد نanolوله کربنی چنددیواره باشد [24]. ضمن آن که افزایش نanolوله کربنی چنددیواره باعث جابجایی سطح فرمی ظاهری کامپوزیت به پتانسیل های مثبت تر و در نتیجه کاهش V_{OC} می‌شود [25]. در مورد چگالی جریان مدار کوتاه (J_{SC}) نیز روند مشابهی مشاهده می‌شود. دلایل بهبود J_{SC} در مقادیر کم نanolوله کربنی چنددیواره، افزایش جمع آوری و انتقال الکترون، توسعه اتصال داخلی بین ذرات دی اکسید تیتانیم و دی اکسید تیتانیم - نanolوله کربنی چنددیواره در لایه متخلخل و ارتقای رسانایی الکتریکی هستند [1-4,24]. با وجود این، مقادیر بیش از حد نanolوله کربنی چنددیواره با کاهش مکان های جذب رنگدانه در اثر ایجاد ترک روی سطح الکترود (شکل ۳) و افزایش بازگشت الکترون به الکتروولیت در اثر حضور نanolوله های کربنی در سطح الکترود و تماس شان با الکتروولیت [24]، را کم می‌کند. افزایش کلی در مقادیر فاکتور پرکنندگی J_{SC} به دلیل کاهش مقاومت سری در فصل مشترک الکتروولیت / رنگدانه / نانوذره در اثر بهبود رسانایی الکتریکی الکترود دی اکسید تیتانیم است [11].

شکل (۶) منحنی های چگالی جریان - ولتاژ سلول های خورشیدی رنگدانه ای ساخته شده از پوشش های نانو کامپوزیتی دی اکسید تیتانیم - نanolوله کربنی چنددیواره حاوی درصد های گوناگون از نanolوله کربنی چنددیواره را نشان می‌دهد. پارامترهای فتوالکتروشیمیابی سلول های خورشیدی در جدول (۱) به صورت خلاصه آورده شده‌اند.

همان طور که ملاحظه می‌شود عملکرد فتوولتاویک سلول های خورشیدی رنگدانه ای ساخته شده از لایه های نازک نانو کامپوزیتی دی اکسید تیتانیم - نanolوله کربنی چنددیواره به مقدار نanolوله کربنی استفاده شده در ساخت سلول وابسته است. با ازدیاد مقدار نanolوله کربنی چنددیواره، مقادیر ولتاژ مدار باز (V_{OC}) ابتدا افزایش و سپس افت پیدا می‌کند. دلیل این مطلب آن است که مشارکت نanolوله های کربنی به مقدار کم در لایه دی- اکسید تیتانیم می‌تواند نرخ ترکیب مجدد حامل های بار و مقاومت را کاهش دهد [2]. ضمن این که گزارش شده است که عملیات سطحی معمولاً مقادیر V_{OC} را صرف-نظر از طبیعت و مشخصه های ماده پوشش داده شده روی الکترود افزایش می‌دهد [1,11]. ایجاد اتصال کوتاه بین



شکل ۶ منحنی های چگالی جریان- ولتاژ سلول های خورشیدی رنگدانه ای ساخته شده از پوشش های نانو کامپوزیتی دی اکسید تیتانیم - نانولوله کربنی چنددیواره حاوی درصد های گوناگون از نانولوله کربنی چنددیواره

جدول ۱ پارامترهای فتوالکتروشیمیایی سلول های خورشیدی ساخته شده از پوشش های نانو کامپوزیتی دی اکسید تیتانیم - نانولوله کربنی چنددیواره حاوی درصد های گوناگون از نانولوله کربنی چنددیواره

مقدار نانولوله کربنی چنددیواره	V_{OC} (V)	J_{SC} (mA/cm ²)	FF	η (%)
0%wt.MWCNT	0.70	9/43	0/55	3/15
1%wt.MWCNT	0.76	10/12	0/52	3/42
2%wt.MWCNT	0.72	10/15	0/77	4/89
3%wt.MWCNT	0.73	11/51	0/63	5/31
4%wt.MWCNT	0.76	10/50	0/60	4/16

از طرف دیگر، افزایش بیش از حد مقدار نانولوله های کربنی باعث آگلومره شدن آنها، ایجاد رقابت در به دام- اندازی نور بین رنگدانه و نانولوله های کربنی و کاهش شفافیت الکترود کاری، افزایش مقاومت انتقال بار در فصل مشترک دی اکسید تیتانیم / رنگدانه / الکتروولیت و توده شدن ذرات دی اکسید تیتانیم و کاهش مقدار رنگدانه جذب شده و در نتیجه افت بازدهی تبدیل فتوالکتریک سلول خورشیدی رنگدانه ای می شود.

قدردانی

از صندوق حمایت از پژوهشگران کشور، ستاد ویژه توسعه فناوری نانو و معاونت پژوهشی دانشگاه صنعتی شریف به سبب حمایت های ایشان از فعالیت های پژوهشی قدردانی می شود.

نتیجه گیری

شرایط بهینه در ساخت سلول خورشیدی رنگدانه ای عبارت است از به کارگیری مقدار سه درصد وزنی نانولوله کربنی در ساخت سل. تحت این شرایط، بازدهی تبدیل انرژی ۵/۳۱٪ حاصل می شود و میزان افزایش بازدهی نسبت به حالتی که از لایه دی اکسید تیتانیم خالص در ساخت فتوآند استفاده شود، ۶۹٪ است. این ارتقا در بازدهی تبدیل توان به کاهش ترکیب مجدد الکترون ها و الکترون حفره ها، کاهش مقاومت انتقال بار در فصل مشترک دی اکسید تیتانیم / رنگدانه / الکتروولیت، افزایش مساحت سطح الکترود کاری و انتقال موثر الکترون توسط نانولوله های کربنی که ارسال الکترون از لایه دی اکسید تیتانیم متخلخل به زیر لایه اکسید قلع دوپ شده با فلوئور را بهبود می بخشدند، نسبت داده شد.

مراجع

1. Lee T.Y., Alegaonkar P.S., Yoo J.B., "Fabrication of dye-sensitized solar cell using TiO₂-coated carbon nanotubes", *Thin Solid Films*, Vol. 515, No. 12, pp. 5131-5135, (2007).
2. Yu J., Fan J., Cheng B., "Dye-sensitized solar cells based on anatase TiO₂ hollow spheres/carbon nanotube composite films", *Journal of Power Sources*, Vol. 196, No. 18, pp. 7891-7898, (2011).
3. Chaveanghong S., Smith S.M., Sudchanham J., Amornsakchai T., "Enhancement of power conversion efficiency of dye-sensitized solar cells by using multi-walled carbon nanotubes/TiO₂ electrode", *Journal of the Microscopy Society of Thailand*, Vol. 4, No. 1, pp. 36-40, (2011).
4. Chang H., Hsieh T.J., Chen T.L., Huang K.D., Jwo C.S., Chien S. H., "Dye-sensitized solar cells made with TiO₂-coated multi-wall carbon nanotubes and natural dyes extracted from Ipomoea", *Materials Transactions*, Vol. 50, No. 12, pp. 2879-2884, (2009).
5. Tan B., Wu Y., "Dye-sensitized solar cells based on anatase TiO₂ nanoparticle/nanowire composites", *The Journal of Physical Chemistry B*, Vol. 110, No. 32, pp. 15932-15938, (2006).
6. Nazeeruddin M.K., Kay A., Rodicio I., Humphry-Baker R., Müller E., Liska P., Vlachopoulos N., Grätzel M., "Conversion of light to electricity by cis-X₂bis (2, 2'-bipyridyl-4, 4'-dicarboxylate) ruthenium (II) charge-transfer sensitizers (X= Cl⁻, Br⁻, I⁻, CN⁻, and SCN⁻) on nanocrystalline TiO₂ electrodes", *Journal of the American Chemical Society*, Vol. 115, No. 14, pp. 6382-6390, (1993).
7. Shi D., Guo Z., Bedford N., "Nanomaterials and devices", Elsevier Inc., Beijing: Tsinghua University Press, pp. 161-174, (2015).
8. Zhao L., Yu J., Fan J., Zhai P., Wang S., "Dye-sensitized solar cells based on ordered titanate nanotube films fabricated by electrophoretic deposition method", *Electrochemistry Communications*, Vol. 11, No. 10, pp. 2052-2055, (2009).
9. Kongkanand A., Martínez Domínguez R., Kamat P.V., "Single-wall carbon nanotube scaffolds for photoelectrochemical solar cells. Capture and transport of photogenerated electrons", *Nano Letters*, Vol. 7, No. 3, pp. 676-680, (2007).
10. Trancik J.E., Barton S.C., Hone J., "Transparent and catalytic carbon nanotube films", *Nano Letters*, Vol. 8, No. 4, pp. 982-987, (2008).
11. Lee K.M., Hu C.W., Chen H.W., Ho K.C., "Incorporating carbon nanotube in a low temperature fabrication process for dye-sensitized TiO₂ solar cells", *Solar Energy Materials and Solar Cells*, Vol. 92, No. 12, pp. 1628-1633, (2008).
12. Umeyama T., Imahori H., "Carbon nanotube-modified electrodes for solar energy conversion", *Energy & Environmental Science*, Vol. 1, No. 1, pp. 120-133, (2008).
13. Kim S.L., Jang S.R., Vittal R., Lee J., Kim K.J., "Rutile TiO₂-modified multi-wall carbon nanotubes in TiO₂ film electrodes for dye-sensitized solar cells", *Journal of Applied Electrochemistry*, Vol. 36, No.

- 12, pp. 1433-1439, (2006).
14. Yen C.Y., Lin Y.F., Liao S.H., Weng C.C., Huang C.C., Hsiao Y.H., Ma C.C.M., Chang M.C., Shao H., Tsai M.C., Hsieh C.K., "Preparation and properties of a carbon nanotube-based nanocomposite photoanode for dye-sensitized solar cells", *Nanotechnology*, Vol. 19, No. 37, pp. 375305, (2008).
 15. Jang S.R., Vittal R., Kim K.J., "Incorporation of functionalized single-wall carbon nanotubes in dye-sensitized TiO₂ solar cells", *Langmuir*, Vol. 20, No. 22, pp. 9807-9810, (2004).
 16. Fan B., Mei X., Sun K., Ouyang J., "Conducting polymer/carbon nanotube composite as counter electrode of dye-sensitized solar cells", *Applied Physics Letters*, Vol. 93, No. 14, pp. 143103, (2008).
 17. Lin W.J., Hsu C.T., Tsai Y.C., "Dye-sensitized solar cells based on multi-walled carbon nanotube-titania/titania bilayer structure photoelectrode", *Journal of Colloid and Interface Science*, Vol. 358, No. 2, pp. 562-566, (2011).
 18. Yu H., Quan X., Chen S., Zhao H., "TiO₂-multiwalled carbon nanotube heterojunction arrays and their charge separation capability", *The Journal of Physical Chemistry C*, Vol. 111, No. 35, pp. 12987-12991, (2007).
 ۱۹. بخشایش ا.م، "سلول خورشیدی فعال شده با رنگ حاوی نانوذره و نانو سیم دی اکسید تیتانیم"، پایان‌نامه کارشناسی ارشد، دانشگاه صنعتی شریف، (۱۳۹۱).
 20. Carp O., Huisman C.L., Reller A., "Photoinduced reactivity of titanium dioxide", *Progress in Solid State Chemistry*, Vol. 32, No. 1, pp. 33-177, (2004).
 21. Jitianu A., Cacciaguerra T., Benoit R., Delpeux S., Beguin F., Bonnamy S., "Synthesis and characterization of carbon nanotubes-TiO₂ nanocomposites", *Carbon*, Vol. 42, No. 5, pp. 1147-1151, (2004).
 22. Birkholz M., "Thin film analysis by X-ray scattering", John Wiley & Sons, Weinheim, pp. 122-129, (2006).
 23. Morales E.R., Mathews N.R., Reyes-Coronado D., Magaña C.R., Acosta D.R., Alonso-Nunez G., Martinez O.S., Mathew X., "Physical properties of the CNT:TiO₂ thin films prepared by sol-gel dip coating", *Solar Energy*, Vol. 86, No. 4, pp. 1037-1044, (2012).
 24. Nishikiori H., Ohta T., Uesugi Y., Itai H., Endo M., Fujii T., "Influence of adding carbon nanotubes on photoelectric conversion properties of dye-doped titania gel", *Research on Chemical Intermediates*, Vol. 38, No. 8, pp. 1857-1869, (2012).
 25. Peining Z., Nair A.S., Shengyuan Y., Shengjie P., Elumalai N.K., Ramakrishna S., "Rice grain-shaped TiO₂-CNT composite-A functional material with a novel morphology for dye-sensitized solar cells", *Photochemistry and Photobiology A: Chemistry*, Vol. 231, No. 1, pp. 9-18, (2012).